

بررسی پاسخ پاداشی هسته آکومبینس مغز پس از تزریق سلول های مزانکیمال بنیادی به دنبال دمیلیناسیون ناشی از اتیدیوم بروماید

تاریخ دریافت مقاله: ۱۳۹۲/۶/۶؛ تاریخ پذیرش: ۱۳۹۲/۱۰/۱۷

چکیده

مقدمه و هدف: دمیلیناسیون مهم ترین عارضه بیماری ام اس است که طی آن لایه میلین اطراف فیبرهای عصبی و هسته های مغزی دچار آپوپتوز یا مرگ سلولی می شوند. هسته آکومبینس یکی از هسته های ناحیه استریاتوم است که در پاسخ پاداشی مغز موثر است. رویکردی که اخیراً به آن توجه زیادی شده است سلول درمانی با استفاده از سلول های بنیادی است. بنابراین هدف این مطالعه بررسی پاسخ پاداشی هسته آکومبینس به دنبال تزریق سلول های مزانکیمال بنیادی در دمیلیناسیون ناشی از اتیدیوم بروماید در موش های صحرایی نر بود.

مواد و روش ها: موش های صحرایی نر نژاد ویستان به وزن ۲۵۰-۳۰۰ گرم در روز جراحی تحت بیهوشی قرار گرفته، سپس ۲/۵ میکرو لیتر اتیدیوم بروماید (EB) ۰.۰۱ درصد تزریق شد. همچنین از آنجا که نیاز به تزریق سلول های بنیادی در بطن مغز خواهد بود، همزمان یک کانول در محل مختصات بطن قرار داده شد تا دیگر نیاز به بیهوشی مجدد نباشد. حیواناتی که در گروههای کنترل، آسیب، شاهد جراحی (Sham) و درمان قرار گرفته اند تا سه روز در شرایط پس از جراحی در اتاق حیوانات بصورت تمیز نگهداری شدند. سپس وارد اتاق استریل برای پیوند سلول بنیادی مزانشیمال شدند.

در روزهای صفر، ۱۴ و ۲۸ پس از جراحی در گروه های مورد آزمایش تست رفتاری ترجیح مکان شرطی (CPP; Conditioned Place Preference) انجام شد. جهت ارزیابی پاسخ پاداشی حیوانات از تزریق زیرجلدی مرفین استفاده گردید.

نتایج: یافته های این پژوهش نشان داد که پاسخ شرطی شده حیوانات در تست رفتاری CPP در گروه هایی که سلول بنیادی را ۱۴ و ۲۸ روز قبل دریافت کرده اند در مقایسه با آسیب (گروه دریافت کننده EB) به طور معناداری افزایش یافت.

نتیجه گیری: بنابراین استفاده از سلول های بنیادی به عنوان یک عامل موثر در روند بازسازی سیستم عصبی و بهبود پاسخ پاداشی، باستی مورد توجه و مطالعه بیشتری قرار گیرد.

کلمات کلیدی: دمیلیناسیون، هسته آکومبینس، سلول های بنیادی مزانکیمال، تست آزمون ترجیح مکان شرطی

مقدمه

این بیماری فعالیت سیستم ایمنی باعث التهاب بافتی و مرگ سلول های عصبی می گردد.^{۱-۸} یکی از دلایل اصلی بروز بیماری، دمیلیناسیون در نورون هاست البته پس از مدتی مقداری رمیلیناسیون خودبخودی نیز رخ می دهد.^{۹-۱۵} به دنبال دمیلیناسیون در دستگاه عصبی مرکزی (CNS) که یکی از نشانه های بارز بیماری MS است، دو نتیجه حاصل می شود: یا اکسون به صورت دمیلینه باقی مانده و مستعد آتروفی می شود که سهم بسزایی در ایجاد فاز

بیماری ام اس (MS; Multiple Sclerosis) یکی از شایع ترین بیماری های عصبی در انسان است که با فراوانی قابل توجهی در اوایل بزرگسالی بروز می کند. بروز آن در زنان دو تا سه برابر مردان است. مهمترین عالم این بیماری عبارتند از: فلنج، فقدان حس، خستگی، نقاچش شناختی و اختلالات بینایی. ام اس یک بیماری التهابی مزمن است که منجر به دمیلینه شدن نورون ها می گردد. در

مهدی گودرزوند، کامبیز رهام بیور،
پگاه عزیزی، محمدامین شرافت،
اشرف نظری برون، عباس حق پرست^۱*
و سارا طاهری^۲

استادیار فیزیولوژی، دانشگاه علوم پزشکی البرز، کرج، ایران
استادیار فیزیولوژی، دانشگاه علوم پزشکی قم، قم، ایران
آکارشناسی ارشد فیزیولوژی، دانشگاه علوم پزشکی شهید بهشتی، تهران، ایران
آکارشناسی ارشد فیزیولوژی، دانشگاه علوم پزشکی زابل، زابل، ایران
دانشیار فیزیولوژی، مرکز تحقیقات علوم اعصاب، دانشگاه علوم پزشکی شهریار، تهران، ایران
آکارشناس پرستاری، دانشگاه علوم پزشکی البرز، کرج، ایران

*نویسنده مسئول: دانشیار فیزیولوژی، مرکز تحقیقات علوم اعصاب، دانشگاه علوم پزشکی شهریار، تهران، ایران
۰۹۱۲-۲۱۴۹۸۵۷
E-mail: haghparast@yahoo.com

مطالعات نشان می دهد که MSC باعث تنظیم عملکرد سلول های T helper در محیطی که همراه با سلولهای بیماران مبتلا به آرتربیت روماتوئید کشت داده شده اند، می شود.^{۳۳} بر اساس این شواهد برآن شدیم که اثر تزریق سلول های بنیادی مزانشیمی را بر پاسخ های پاداشی مدل حیوانی MS بررسی نماییم.

مواد و روش ها

در این پژوهش از موش های صحرایی ویستار با وزن ۲۵۰-۳۰۰ گرم استفاده شد. موش های صحرایی با رعایت اصول اخلاقی در محیط مناسب در قفس های چهار تایی با دسترسی آزاد به آب و غذا نگهداری شدند. چرخه روشنایی و تاریکی ۱۲ ساعته و دمای حیوانخانه 24 ± 2 بود. حیوانات به چهار گروه کترول، آسیب، شاهد جراحی (Sham) و درمان تقسیم شدند. موش های صحرایی در روز جراحی تحت بیهوشی قرار گرفته و پس از اطمینان از بیهوشی کامل، سر حیوانات در دستگاه استریوتاکسی جهت مشخص نمودن مختصات هسته آکومبنس ثابت گردید. سپس جمجمه حیوان سوراخ شده و با توجه به اطلس پاکسینوس با سرنگ هامیلتون ۲/۵ میکرولیتر اتیدیوم بروماید ۰/۰۱ درصد برای القای دمیلیناسیون موضعی در هسته آکومبنس استفاده شد. همچنین برای تزریق سلول های بنیادی در بطن مغز، یک کانول نیز در محل مخصوص بطن قرار داده شد.

بعد از جراحی حیوانات به مدت سه روز برای بهبودی در حیوانخانه نگهداری شدند و سپس برای پیوند سلول بنیادی ($100000 * 5$) وارد اتاق استریل شدند. پس از آماده سازی سلول ها، فقط گروه درمان سلول های بنیادی مزانشیمی که از مغز استخوان موش های صحرایی تهیه شده بود را دریافت کردند. در روز های صفر، ۱۴ و ۲۸ پس از جراحی در گروه های مورد آزمایش تست رفتاری ترجیح مکان شرطی (CPP) جهت ارزیابی سیستم پاداش انجام شد.

مطالعه رفتاری ترجیح مکان شرطی

دستگاه ترجیح مکان شرطی (CPP) که از دو محفظه مستطیل شکل متصل به هم با ابعاد

پیشرونده MS دارد؛ و یا اینکه در طی یک فرآیند ترمیمی که دمیلیناسیون نامیده می شود، صفحات جدید میلین دور آکسون دمیلینه تشکیل و قابلیت هدایت پتانسیل عمل در طول نورون را به آن باز می گرداند.^{۳-۷}

ام اس یک بیماری با اتیولوژی ناشناخته است که با یک مرحله موقت فروکشی و عود و نیز یک مرحله پیشرفتی مزمن مشخص می شود. پلاک های این بیماری در نتیجه دمیلینه شدن اعصاب درون ماده سفید حاصل می آیند که با رنگ آمیزی اختصاصی از بین رفتان میلین را می توان دید. واژه مولتیپل بیانگر این واقعیت است که بیش از یک منطقه از مغز و نخاع مبتلا می شوند و از آنجایی که در ناحیه آسیب دیده بافت عصبی سخت و ژلایینه می شود اصطلاح اسکلروز به آن نسبت داده شده است.^۳

تاکنون اصلی ترین استراتژی های درمان MS بر ایجاد راهکارهایی برای جلوگیری از فرایند دمیلیناسیون استوار بوده است. این در حالی است که اخیراً روش هایی که باعث پیشبرد دمیلیناسیون شده و از دست دادن اکسون را به حداقل می رسانند، نیز مورد توجه قرار گرفته اند.^{۱۲} یکی از بخش هایی از مغز که دچار عارضه دمیلیناسیون می شود، ماده سفید هسته آکومبنس (یا استریاتوم شکمی) عقده های قاعده ای مغز می باشد که این عارضه موجب اختلال در سیستم پاداش مغز می شود و موجب بروز اختلال در فعالیت های شناختی فرد می گردد.^{۱۶}

گزارش شده است که تزریق داخل جمجمه ای فاکتور های رشد، خصوصاً فاکتور رشد مشتق از پلاکت (PDGF) می تواند روند دمیلیناسیون را تحریک و تسریع کند. این تحریک روی تکثیر سلول های اجدادی الیگوکلوروسیت ها می باشد که افزایش این سلول ها در دمیلیناسیون بسیار حائز اهمیت است ولی در مجموع دمیلیناسیون موجود ناکافی است.^{۱۷} همچنین گزارشاتی وجود دارد که کاشت سلول های بنیادی مزانشیمی (MSC) به عنوان یک درمان جایگزین برای برخی از بیماری های خود اینمی مطرح شده است. مطالعات حیوانی تایید کرده است که تزریق MSC می تواند به طور معنی داری علائم منژیت خود ایمن، گلومرولونفریت، ام اس و لوپوس اریتماتوز را بهبود بخشد.^{۱۸-۲۱} هرچند که مکانیزم اثر این کاشت سلولی به درستی شناخته نشده است اما مشخص شده است که MSC ها نقش مهمی در تمایز و تکثیر لنفوцит های T دارند.^{۲۲}

گرفت. در این مطالعه اختلاف زمان سپری شده در محفظه تزریق مورفین و سالین به عنوان نمره شرطی سازی (Conditioning score) در نظر گرفته شد.

جداسازی سلول های بنیادی مزانشیمال مشتق از مغز قرمز استخوان

پس از قربانی کردن موش ها، استخوان ران و درشت نی حیوانات جدا شدند و پس از حذف عضلات، مغز قرمز استخوان به روش فلاشینگ جمع آوری شد و پس از عبور از فیلتر ۱۰۰ میکرومتر، نمونه ها به فلاسک کشت حاوی محیط کشت DMEM با گلوكوز پایین به همراه ۱۰ درصد سرم جنین گاوی (FBS) کشت داده شدند. سلول ها پس از رسیدن به تراکم (دانسیته) مناسب توسط تریپسین ۰/۲۵ درصد پاساژ داده شدند و در پاساژ سوم آماده تمایز به ردۀ های دیگر و نیز القای ژن شدند.

القای ژن GFP از طریق وکتور به درون سلول های بنیادی مغز قرمز استخوان

ابتدا وکتور لنتی وایرال pLOX-EWGFP حاوی پرومتوسور آلفا با ژن eGFP به پلاسمید های psPAX2 و pMD2.G اقا شد و سپس این مجموعه به ردۀ سلولی 293 T منتقل (ترانسفکت) شد. پس از آن وکتورهای ویروسی تکثیر شده جمع آوری شد و به محیط کشت سلول های بنیادی مغز قرمز اضافه شد و بدین ترتیب سلول های بنیادی حامل ژن GFP شدند تا بتوان به راحتی مورد ریدابی قرار گیرند. در نهایت سلول های بنیادی مزانشیمال از طریق کانولی که قبلاً تعبیه شده بود به داخل هسته آکومبنس تزریق شد.

نتایج

مشاهده سلول های GFP مثبت در هسته آکومبنس

در بررسی های ایمونوپلوروسانت، وجود سلول های GFP مثبت نشان دهنده انتقال سلول های بنیادی مزانشیمال می باشد. در شکل ۱ سلول هایی که به رنگ سیز دیده می شوند GFP را بیان کرده اند که حضور این سلول ها در مختصات مورد نظر مovid انتقال موفق تأمیز سلول های بنیادی مزانشیمال به هسته آکومبنس می باشد.

۳۰×۴۰ cm تشكيل شده است. در بخش میانی این وسیله نیز یک محفظه مستطیل شکل کوچکتر وجود دارد که از طریق آن امکان دسترسی به دو محفظه دیگر وجود دارد. کف هر کدام از این دو محفظه توسط محرک های حسی متفاوتی از هم مجزا شده اند به طوری که دیوارها و کف هر محفظه دارای خصوصیات منحصر به فردی می باشد. در این آزمایش حیوان پس از آموزش با استفاده از روش ترجیح مکان شرطی، مورد بررسی قرار گرفت. هر کدام از آزمون های ترجیح مکان شرطی شامل یک برنامه زمان بندی ۵ روزه بودند که در سه مرحله زیر انجام شد:

(الف) مرحله پیش شرطی سازی

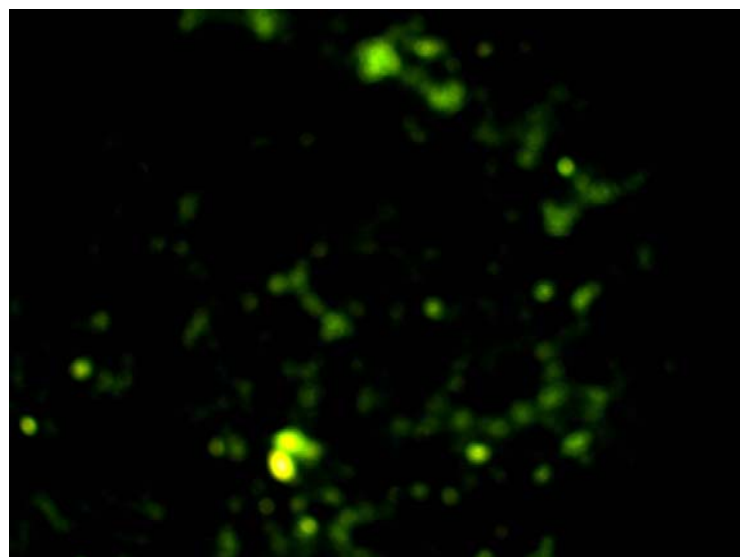
در این مرحله که یک روز به طول می انجامید، حیوان در بخش میانی دستگاه ترجیح مکان شرطی قرار داده شده و به او اجازه داده می شد تا به مدت ۱۰ دقیقه آزادانه به جستجو در بخش های مختلف دستگاه بپردازد. در طول این مرحله مدت زمانی که حیوان در هر محفظه سپری می کرد اندازه گیری می شد.

(ب) مرحله شرطی سازی

این مرحله شامل یک برنامه زمان بندی ۳ روزه بود و در هر روز طی ۲ نوبت انجام می شد. به این نحو که در روز اول حیوان در نوبت صبح یک دوز مشخص مورفین (۵ mg/kg) را به روش زیرجلدی دریافت کرده و فوراً به مدت ۴۵ دقیقه در یکی از محفظه های دستگاه مکان شرطی قرارداده می شد. این محفظه از محفظه های دیگر مجزا شده بود. در نوبت بعد از ظهر حیوان یک دوز مشخص سالین (۱ ml/kg) را دریافت کرده و در محفظه دیگری از دستگاه مکان شرطی به مدت ۴۵ دقیقه قرار داده می شد. در روز دوم حیوان سالین را در نوبت صبح و مورفین را در نوبت بعد از ظهر دریافت می کرد. در روز سوم نیز مانند روز اول عمل می شد.

(ج) مرحله بعد از شرطی سازی (مرحله آزمون)

در پنجمین روز از برنامه زمان بندی به حیوان اجازه داده می شد تا آزادانه به مدت ۱۰ دقیقه به جستجو در این سه محفظه بپردازد. در این مرحله هم مانند مرحله پیش شرطی سازی مدت زمان سپری شده در هر محفظه با دوربین و نرم افزار اتوویژن اندازه گیری می شد و اینکه آیا حیوان در روز نهایی مکان دریافت مورفین را نسبت به مکان دریافت سالین ترجیح می دهد، مورد ارزیابی قرار

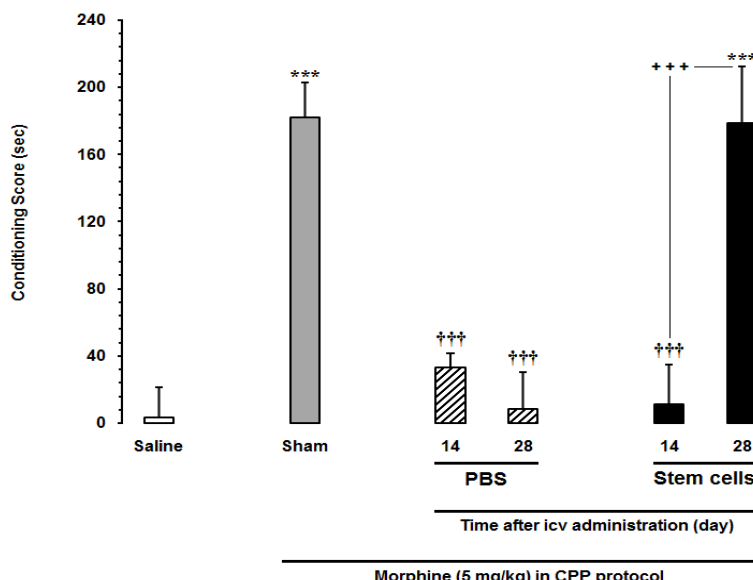


شکل ۱. وجود سلولهای GFP مثبت در بافت هسته آکومبنس پس از انتقال. سلول های بنیادی بیان کننده GFP به رنگ سبز مشاهده می شوند Scale Bar=50 μm

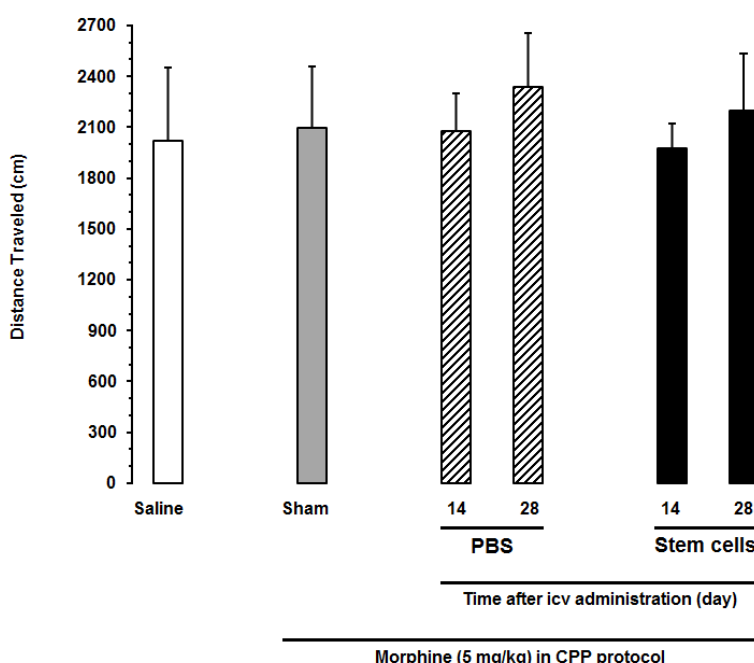
اتیدیوم بروماید این هسته تخریب شده و نمره شرطی شدن حیوان به نحو معناداری کمتر از نمره شرطی شدن گروه شم است که به جای سالین اتیدیوم بروماید دریافت کرده است (شکل ۲).

تزریق داخل هسته ای اتیدیوم بروماید نمره شرطی شدن را کاهش داد.

یافته های رفتاری نشان می دهد که پس از تزریق داخل هسته ای



شکل ۲. حیوانات پس از تخریب هسته آکومبنس بوسیله اتیدیوم بروماید، سلول های بنیادی را به صورت درون هسته آکومبنس دریافت کرده و سپس به ترتیب ۱۴ و ۲۸ روز بعد مورد تست CPP قرار گرفتند و نمره شرطی شدن آنها با گروه Sham (گروهی که فقط جراحی شدند) و گروه کنترل (گروهی که سالین دریافت کردند) مقایسه شد. تزریق درون بطن مغزی سلول های بنیادی ۲۸ روز پس از تخریب هسته آکومبنس توسط اتیدیوم بروماید، توانست نمره شرطی شدن را به حالت عادی برگرداند.



شکل ۳. حیوانات پس از تخریب هسته آکومبنس بوسیله اتیدیوم بروماید، سلول های بنیادی را به صورت درون هسته آکومبنس دریافت کرده و سپس به ترتیب ۱۴ و ۲۸ روز بعد مورد تست CPP قرار گرفتند و مسافت طی شده توسط آنها با گروه Sham (گروهی که فقط جراحی شدند) و گروه کنترل (گروهی که سالین دریافت کردند) مقایسه شد. میزان فعالیت حرکتی حیوانات در مقایسه با گروه کنترل تفاوت معنی داری نداشت.

شده بود، در هیچیک از زمان های مورد بررسی تفاوت معناداری وجود نداشت (شکل ۳).

بحث

در بررسی های ایمونوھیستولوژیک مطالعه حاضر بیان ژن GFP در ناحیه هسته آکومبنس پس از انتقال سلول های بنیادی مزانشیمی حاکی از گرافت موفقیت آمیز این سلول ها می باشد. هماطور که در شکل ۲ مشاهده می گردد ۱۴ روز پس از تزریق اتیدیوم بروماید هنوز نمره شرطی موش های صحرایی افزایش نیافته است و با گروهی که PBS در یافت کرده اند تفاوت آماری ندارد. اما ۲۸ روز پس از تزریق نمره شرطی شدن افزایش یافته و به حد نمره شرطی شدن در گروه شاهد جراحی (Sham) که در آنها هسته آکومبنس تخریب نشده است می رسد. شاید این مدت زمان برای شروع عملکرد در سلول های ترانس پلنت شده ضروری باشد. ایشیدا و همکارانش گزارش دادند که انتقال سلول های دوپامینی

تزریق سلول های بنیادی مزانشیمی به داخل بطن مغز نمره شرطی شدن را بهبود بخشید.

همانطور که در شکل ۲ مشاهده می گردد ۲۸ روز پس از تخریب هسته آکومبنس توسط تزریق اتیدیوم بروماید، رفتار پاداشی حیوان به طور معناداری بهبود یافت و نمره شرطی شدن موش های صحرایی پس از انتقال سلول ها به حد موش های کنترل رسید. این در حالی است که ۱۴ روز پس از ترانس پلنت شدن سلول ها هنوز بهبود معناداری در نمره شرطی شدن مشاهده نمی گردد.

میزان فعالیت حرکتی حیوانات در مقایسه با گروه کنترل تفاوت معنی داری نداشت.

ارزیابی فاصله پیموده شده توسط موش های صحرایی پس از تزریق داخل بطنی سلول های بنیادی مزانشیمی حاکی از آن است که میزان فعالیت حرکتی حیوانات تیمار شده با سلول های بنیادی و موشهای صحرایی که هسته آکومبنس آنها با اتیدیوم بروماید تخریب

روتاورد را به طور معناداری بهبود بخشد که موید بهبود عملکرد شناختی حیوان پس از تزریق MSC به محل ضایعه می‌باشد.^{۲۶} بهبود نمره شرطی شدن حیوانات در مطالعه حاضر نیز همانند مطالعه عدالت ونش و همکاران بهبود عملکرد شناختی موش‌ها پس از ۴ هفته را تایید می‌نماید. اما در این مطالعه تغییر معناداری در توانایی حرکتی حیوان مشاهده نشد که احتمالاً به محل ضایعه مربوط می‌باشد که در این مطالعه تخریب هسته اکومبنس تداخل کمتری با توانایی حرکتی حیوان دارد. ضمن اینکه تاثیر آزمون متفاوت در ارزیابی لوکوموشن را نباید از نظر دور داشت. در مجموع می‌توان نتیجه گیری کرد که ترانس پلنت کردن سلولهای بنیادی مزانشیمی (MSC) می‌تواند اثر تخریبی ایدیوم بروماید بر نورون‌های هسته اکومبنس را کاهش داده و رفتارهای شناختی حیوان را بهبود بخشد بدون اینکه روی لوکوموشن حیوان تاثیر معناداری داشته باشد.

تشکر و قدردانی

این طرح با حمایت مالی دانشگاه علوم پزشکی البرز انجام شد. از این رو، مجری و سایر همکاران کمال تشکر و قدردانی را از این دانشگاه دارند.

به هسته آکومبنس موشهایی که سلولهای دوپامینرژیک آنها با ۶-هیدروکسی دوپامین تخریب شده بود پس از گذشت ۴ هفته از زمان گرافت توانست هایپر اکتیویته ایجاد شده با مت آمفتامین را به حالت حیوانات طبیعی برگرداند^{۲۷} که موید زمان بروز پاسخ رفتاری در مطالعه حاضر است.

افراش نمره شرطی شدن در موشهای صحرایی که MSC دریافت کرده بودند احتمالاً ناشی از بهبود عملکرد نورون‌های هسته آکومبنس در گروه MSC است که می‌تواند به دلیل کاهش میزان آپوپتوز در اثر تزریق ایدیوم بروماید باشد. در سال ۲۰۱۲ آزوو و همکارانش نیز با تزریق MSC به موش‌های نارس مبتلا به رتینوپاتی گزارش کردند که در گروهی که MSC در یافته نموده‌اند تعداد نورون‌های TUNEL مثبت و نورون‌های DAPI مثبت کمتر از گروه تیمار نشده بود^{۲۸} که موید کاهش آپوپتوز نورونی به دنبال ترانس پلاتتسیون MSC است.

در مطالعه‌ای که عدالت منش و همکارانش در سال ۲۰۱۱ انجام دادند به دنبال تخریب یک طرفه مخچه توسط کینولینیک اسید، ترانس پلتتسیون MSC توانست پس از گذشت ۶ هفته یادگیری حیوان در ماز آبی موریس و نیز توانایی حرکتی در

References

1. Annapurna A, Kumar VK, Rao PMM, Rao KS, et al. Multiple Sclerosis: the disease and its treatment. Indian J Pharmacol 2002; 34: 3-15.
2. Bell JI, Lathrop GM. Multiple loci for Multiple Sclerosis. Nat. Genet 1996; 13(4): 377-378.
3. Frohman EM, Racke MK, Raine CS. Multiple Sclerosis—the plaque and its pathogenesis. N Engl J Med 2006; 354 (9): 942-55.
4. Hafler DA. Multiple sclerosis. Am Soc Clin Investig 2004; 788-794.
5. McQualter JL and Bernard CC. Multiple sclerosis: a battle between destruction and repair. J Neurochem 2008; 100: 295-306.
6. Rolak LA. Multiple Sclerosis: It's Not The Disease You Thought It Was. Marshfield Clinic 2003: 57-60.
7. Shivane AG and Chakrabarty A. Multiple sclerosis and demyelination .Curr Diagn Pathol 2007; 13: 193-202.
8. Wingerchuk DM, Lucchinetti CF, Noseworthy JH. Multiple Sclerosis: Current Pathophysiological Concepts. Lab Invest 2001; 81: 263-281.
9. Keirstead H. Stem cells for the treatment of myelin loss. Trends Neurosci 2005; 28: 677-683.
10. Piraino PS, Yednock TA, Messersmith EK, et al. Spontaneous remyelination following prolonged inhibition of integrin in chronic EAE. J. Neuroimmunol 2005; 167: 53-63.
11. Shields SA, Gilson JM, Blakemore,W.F. Remyelination occurs as extensively but more slowly in old rats compared to young rats following gliotoxin-induced CNS demyelination. Glia 1999 28:77-83.
12. Stangel M, Hartung HP. Remyelinating strategies for the treatment of multiple sclerosis. Prog. Neurobiol. 2002; 68: 361-376.

13. Cerghet M, Skoff RP, Bessert D et al. Proliferation and death of oligodendrocytes and myelin proteins are differentially regulated in male and female rodents. *J Neurosci* 2006; 26: 1439-1447.
14. Li WW, Penderis J, Zhao C. Females remyelinate more efficiently than males following demyelination in the aged but not young adult CNS. *Exp Neurol* 2006; 202: 250-254.
15. Matejuk A, Hopke C, Vandenbark AA. Middle-age male mice have increased severity of experimental autoimmune encephalomyelitis and are unresponsive to testosterone therapy. *J Immunol* 2005; 174:2387-2395.
16. Batista S, Zivadinov R, Hoogs M, et al. Basal ganglia, thalamus and neocortical atrophy predicting slowed cognitive processing in multiple sclerosis. *J Neurol* 2012; 259(1):139-46.
17. Ruffini F, Kennedy TE, Antel JP. Inflammation and remyelination in the central nervous system. *Am J Pathol*. 2004; 164: 1519-1522.
18. Ozaki K, Sato K, Oh I. Mechanisms of immunomodulation by mesenchymal stem cells. *Int J Hematol*. 2007; 86 (1):5-7.
19. Uccelli A, Pistoia V, Moretta L. Mesenchymal stem cells: a new strategy for immunosuppression? *Trends Immunol*. 2007; 28 (5): 219-226.
20. McTaggart SJ, Atkinson K. Mesenchymal stem cells: immunobiology and therapeutic potential in kidney disease. *Nephrol (Carlton)* 2007;12 (1):44-52.
21. Gonzalez MA, Gonzalez-Rey E, Rico L, et al. Treatment of experimental arthritis by inducing immune tolerance with human adipose-derived mesenchymal stem cells. *Arthritis Rheum*. 2009; 60(4):1006-1019.
22. Beyth S, Borovsky Z, Mevorach D, et al. Human mesenchymal stem cells alter antigen-presenting cell maturation and induce T-cell unresponsiveness. *Blood*. 2005; 105(5):2214-2219.
23. Wang Q, Li X, Luo J, et al. The allogeneic umbilical cord mesenchymal stem cells regulate the function of T helper 17 cells from patients with rheumatoid arthritis in an in vitro co-culture system *BMC Musculoskelet Disorder*. 2012; 13: 249.
24. Ishida Y, Hashitani T, Kumazaki M, et al. Behavioral and biochemical effects of intra-accumbens dopaminergic grafts. *Brain Research Bulletin* 1990: 24(3): 487-492.
25. Zhao YS, Zhao KX, Wang XL, et al. Effects of bone marrow mesenchymal stem cell transplantation on retinal cell apoptosis in premature rats with retinopathy 2012; 14 (12): 971-975.
26. Edalatmanesh MA, Bahrami AR, Hosseini E, et al. Bone marrow derived mesenchymal stem cell transplantation in cerebellar degeneration: a behavioral study. *Behav Brain Res* 2011: 20; 225 (1): 63-70.